



تولیدات دامی

دوره ۲۴ ■ شماره ۳ ■ پاییز ۱۴۰۱

صفحه‌های ۲۸۱-۲۹۰

DOI: 10.22059/jap.2022.330829.623639

مقاله پژوهشی

اثر تغذیه دانه شاهدانه بر بیان ژن *CPT1B* در گوسفند بلوچی^۵

امیر مسعود اسماعیلیان^۱, علی اسماعیلیزاده^{۲*}, محمدرضا محمدآبادی^۳, مهدی منصوری^۴, محمدعلی فرهوشی^۵, حامد خراتی کوپایی^۶

۱. دانش آموخته کارشناسی ارشد, گروه علوم دامی, دانشکده کشاورزی, دانشگاه شهید باهنر کرمان, کرمان, ایران.

۲. استاد, گروه علوم دامی, دانشکده کشاورزی, دانشگاه شهید باهنر کرمان, کرمان, ایران.

۳. استادیار, گروه بیوتکنولوژی کشاورزی, دانشکده کشاورزی, دانشگاه شهید باهنر کرمان, کرمان, ایران.

۴. دانشجوی دکتری, گروه علوم دامی, دانشکده کشاورزی, دانشگاه شهید باهنر کرمان, کرمان, ایران.

۵. دانش آموخته دکتری, پژوهشکده زیست فناوری, دانشگاه شیراز, شیراز, ایران.

تاریخ پذیرش مقاله: ۱۴۰۰/۱۰/۰۵ | تاریخ دریافت مقاله: ۱۴۰۱/۰۱/۲۶

چکیده

هدف داشت نوتریزونومیکس مطالعه مواد مغذی به عنوان سیگنال‌هایی است که به سیله گیرندهای سلولی دریافت می‌شوند و می‌توانند روحی ژنوم، بیان ژن‌ها و تولید متابولیت‌ها تأثیرگذار باشند. در این پژوهش، برای بررسی اثر دانه شاهدانه بر تغییرات بیان ژن کاربینتین پالمیتوئیل ترانسفراز-1-B (*CPT1B*) در گوسفند بلوچی، تعداد ۱۲ رأس بره نر با سن پنج ماهگی در طرح کاملاً تصادفی در دو گروه قرار گرفتند. گروه‌ها با جیره شاهدانه و با جیره دارای ۱۰ درصد شاهدانه تغذیه شدند. پس از دوره ۱۱۰ روزه پرواربندی، از بافت‌های قلب، کبد، بیضه، ماهیچه راسته (*Longissimus dorsi muscle*) و چربی پشت (subcutaneous back fat) نمونه برداری شد. استخراج RNA برای واکنش PCR Real Time و تغییرات بیان ژن *CPT1B* بین گروه‌ها انجام شد. تغییرات بیان ژن *CPT1B* بین گروه شاهدانه و تیمار در بافت کبد معنی دار بود ($P<0.05$). بیان ژن *CPT1B* در کبد بردهای تحت تیمار شاهدانه ۵/۷۴ برابر نسبت به گروه شاهدانه افزایش بیان داشت. در بافت‌های قلب، چربی پشت، ماهیچه راسته، یافعه در گروه تیمار نسبت به شاهدانه ترتیب ۲/۱، ۲/۱۲، ۲/۳۶ و ۲/۴۷ برابر کاهش بیان ژن *CPT1B* را نشان داد. دانه شاهدانه حاوی اسیدهای چرب غیرشایع می‌باشد و این ترکیبات از طریق بیان ژن‌های مانند *CPT1B* می‌توانند موجب تغییر متابولیسم چربی در کبد شوند. بنابراین می‌توان بیان داشت که با توجه به این که *CPT1B* یکی از ژن‌های مؤثر در سوخت‌وساز چربی می‌باشد، افزودن دانه شاهدانه به جیره از افزایش فعالیت بافت کبد می‌تواند اثر مفیدی بر توان تولیدی حیوان داشته باشد.

کلیدواژه‌ها: بیان ژن، ژن *CPT1B*, شاهدانه، گوسفند بلوچی، متابولیسم چربی، نوتریزونومیکس.

The effect of feeding cannabis seed on *CPT1B* gene expression in Baluchi sheep

Amir Masoud Esmailian¹, Ali Esmailizadeh^{2*}, Mohammadreza Mohammadabadi², Mehdi Mansouri³, Mohamadali Farahvashi⁴, Hamed Kharrati-Koopaee⁵

1. Former M.Sc. Student, Department of Animal Science, Faculty of Agriculture, Shahid Bahonar University of Kerman, Kerman, Iran.

2. Professor, Department of Animal Science, Faculty of Agriculture, Shahid Bahonar University of Kerman, Kerman, Iran.

3. Assistant Professor, Department of Agriculture Biotechnology, Faculty of Agriculture, Shahid Bahonar University of Kerman, Kerman, Iran.

4. Ph.D. Student, Department of Animal Science, Faculty of Agriculture, Shahid Bahonar University of Kerman, Kerman, Iran.

5. Former Ph.D. Student, Institute of Biotechnology, Shiraz University, Shiraz, Iran.

Received: December 26, 2021

Accepted: April 15, 2022

Abstract

The goal of nutrigenomics is to study nutrients as signals that are received by cellular receptors, which can affect the genome, gene expression and metabolite production. In this research, to investigate the effect of cannabis seed on the fold change of carnitine palmitoyl transferase-1-B (*CPT1B*) expression in Baluchi sheep, 12 five-month-old male lambs were divided into two groups in a completely randomized design. The groups were fed with control diet without cannabis seed and with a diet containing 10% cannabis seed. After the fattening period of 110 days, samples were taken from the heart, liver, testis, subcutaneous back fat and *Longissimus dorsi* muscle. Total RNA was extracted for Real Time PCR reaction and measurement of *CPT1B* gene expression change between groups. The change of *CPT1B* gene expression in liver tissue was significant between control and treatment groups ($P<0.05$). The expression of *CPT1B* gene was 5.74 times higher in liver of lambs treated with Cannabis seed compared with the control group. The *CPT1B* gene expression in heart, subcutaneous back fat, *Longissimus dorsi* muscle, and testis decreased by 3.1, 2.36, 2.12 and 2.47 times, respectively compared to control group. Cannabis seeds contain unsaturated fatty acids and these compounds can change the fat metabolism in the liver through the expression of genes such as *CPT1B*. Therefore, it can be stated that, *CPT1B* is one of the effective genes in fat metabolism and the addition of cannabis seeds to the diet can have a beneficial effect on the animal's production performance by increasing the activity of the liver tissue.

Keywords: Baluchi sheep, Cannabis seed, *CPT1B* gene, Gene expression, Lipid metabolism, Nutrigenomics.

مقدمه

پروتئین ادستین (مشابه پروتئین سویا) و پروتئین آلبومین (مشابه پروتئین تخم مرغ) تشکیل شده است [۶]. ژن *CPTIB* یکی از ژن‌های مهم در بتاکسیداسیون چربی‌هاست. مسیر اصلی کاتابولیسم اسیدهای چرب، بتاکسیداسیون می‌باشد. آنزیمهای این مسیر در ماتریکس (قسمت داخلی) میتوکندری قرار دارند. به علت غیرقابل نفوذ بودن غشای درونی میتوکندری نسبت به اسیدهای چرب آزاد، اسیدهای چرب ابتدا باید به فرم دیگری درآیند تا بتوانند از غشای میتوکندری عبور نمایند. بدین منظور اسیدهای چرب به ناقلی به نام کارنیتین که همان کارنیتین پالیتوئیل ترانسفراز-1 (*CPTIB*) نامیده می‌شود متصل می‌شوند و سپس وارد میتوکندری می‌شوند [۱۴ و ۱۶].

فعالیت *CPTIB* در حالت مصرف خوراک مناسب کاهش می‌یابد و بدین ترتیب اکسیداسیون اسیدهای چرب نیز کاهش پیدا می‌کند. از طرف دیگر در هنگام گرسنگی فعالیت *CPTIB* افزایش می‌یابد و امکان افزایش اکسیداسیون اسیدهای چرب را فراهم می‌کند. مالونیل کواکه نخستین واسطه در ساخت اسیدهای چرب است، در مسیری تحت تأثیر استیل کواکربوکسیلаз ساخته می‌شود و از بازدارندهای قوی *CPTIB* است همچنین در مطالعه‌ای که بر روی بیان ژن *CPTIB* در گوسفندان دنبه‌دار و بی‌دبه صورت گرفت مشخص شد که بیان این ژن در بافت کبد گوسفندان دنبه‌دار نسبت بی‌دبه بالاتر است [۲۵]. در پژوهشی در کشور چین با گوسفند سوئیت (Sunit)، مشخص شد که اثر رژیم غذایی به شکل چرا در مرتع و تغذیه دستی بر بیان ژن *CPTIB* اثر ندارد [۴]. در طیور نیز گزارش شده است که استفاده از روغن کتان در جیره غذایی بر بیان ژن *CPTIB* در ماهیچه سینه طیور گوشتی اثر ندارد [۲۲].

به دلیل اهمیت نقش ژن *CPTIB* در مسیر کاتابولیسم چربی‌ها و در نهایت افزایش تولید دام، مطالعات زیادی در

رشد جمعیت انسانی و کمبود منابع غذایی اصلی‌ترین عامل برای توسعه و پیشرفت سیستم‌های تولید غذا در دهه‌های آینده است. پیشرفت‌های حاصل در علم تغذیه نشان داده‌اند که مواد مغذی یا متابولیت‌های آن‌ها می‌توانند به عنوان تنظیم‌کننده مستقیم یا غیرمستقیم عملکردی‌های مختلف بدن مطرح باشند. در این راستا نوتریزنومیکس با هدف تعامل بین ژنومیکس و تغذیه در زمینه علم تغذیه مطرح شد [۱۰]. از دیدگاه نوتریزنومیکس مواد مغذی جیره غذایی سیگنان‌هایی هستند که به‌وسیله گیرنده‌های سلولی دریافت می‌شوند و می‌توانند بر بیان ژن‌ها و پروتئین‌ها و تولید متابولیت‌ها تأثیرگذار باشند [۱]. طی سال‌های اخیر توجه پژوهش‌گران و تولیدکنندگان به سمت استفاده از مواد افزودنی و خوراکی‌هایی معطوف شده است که علاوه بر تأمین نیازهای غذایی، دارای خواص درمانی نیز باشند و بتوانند تأثیر مثبتی بر سلامت دام و انسان داشته باشند. برای نمونه می‌توان به استفاده از برخی گیاهان دارویی به صورت کامل و یا عصاره آنها، استفاده از برخی میکرووارگانیسم‌ها و مواد معدنی اشاره کرد [۱۸].

شاهدانه گیاهی یک‌ساله با برگ‌های قطره‌ای است. دانه این گیاه ریز و روغنی بوده و پراکنش آن در استان‌های فارس، کرمان، اصفهان، تهران و شمال ایران گزارش شده است. دانه شاهدانه، یکی از مغذی‌ترین و قابل‌هضم‌ترین دانه‌ها می‌باشد. دانه شاهدانه سرشار از پروتئین، اسیدهای آمینه ضروری و اسیدهای چرب ضروری است. افرادی که به طور منظم دانه‌های شاهدانه را مصرف می‌کنند، فشار خون و همچنین میزان کلسترول با چگالی پایین (LDL) در خون آن‌ها کاهش می‌یابد [۳]. پروتئین و آنزیمهای موجود در دانه‌های بدون پوست شاهدانه موجب کاهش ورم و التهاب می‌شود و از این‌رو، برای مبتلایان به آرتروز و همچنین درد مفاصل مورد استفاده قرار می‌گیرد. پروتئین شاهدانه از دو نوع

تولیدات دامی

قرار گرفتند. جیره‌های آزمایشی دارای اثری متابولیسمی و پروتئین خام یکسان (۱۴ درصد) بودند و به صورت کاملاً مخلوط دو بار در روز در ساعت‌های معین ۸ صبح و ۱۷ عصر در آخورهای هر باکس در اختیار برها قرار داده شد و باقی‌مانده خوراک پیش از تغذیه نوبت بعد برها جمع‌آوری می‌شد. آب نیز به صورت آزاد در اختیار واحدهای آزمایشی قرار گرفت. پس از پایان دوره پرواربندی، برها توزین و کشتار شدند. از بافت‌های کبد، بیضه، قلب، چربی ناحیه پشت و ماهیچه راسته برها نمونه برداری شد. نمونه‌ها به فریزر -۸۰ درجه سانتی‌گراد واقع در آزمایشگاه بیوتکنولوژی کشاورزی دانشگاه شهید باهنر کرمان منتقل شدند و تا زمان استخراج RNA در آن محل ذخیره شدند.

استخراج RNA از بافت‌ها با استفاده از کیت اختصاصی (شرکت دنازیست آسیا) و مطابق دستورالعمل ارائه شده همراه کیت انجام شد. پس از استخراج RNA کیفیت و کمیت آن با روش الکتروفورز ژل آگارز یک درصد و دستگاه نانودرایپ (مدل NDNM96، ایران) ارزیابی شد. میزان جذب RNA استخراج شده در طول موج‌های ۲۸۰، ۲۶۰ و ۲۳۰ نانومتر اندازه‌گیری شدند و نسبت‌های ۲۶۰/۲۸۰ و ۲۶۰/۲۳۰ بر حسب نانومتر محاسبه شدند [۱۷].

در این پژوهش طراحی آغازگر با استفاده از توالی ژن CPT1B با شماره دسترسی XM_042245191.1 موجود در پایگاه NCBI (www.ncbi.com) و نرم‌افزار (نسخه ۶) Primer quest انجام شد. برای حصول اطمینان از اختصاصی بودن آغازگرهای BLAST در پایگاه NCBI استفاده شد. در انتهای آغازگرهای طراحی شده به‌وسیله شرکت ماکروژن کره جنوبی سنتز شدند. قابل ذکر است که از ژن β -actin به عنوان کنترل داخلی استفاده شد. جدول (۱) توالی آغازگرهای را نشان می‌دهد.

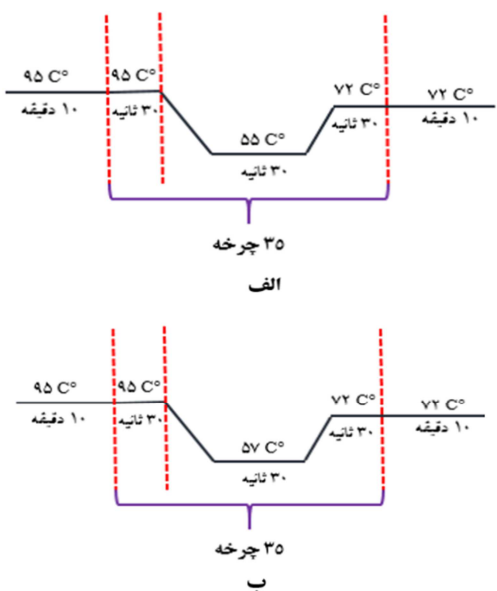
این زمینه بر روی حیوانات مزرعه‌ای انجام شده است، اما هنوز پژوهش‌های بیشتری برای درک نقش این ژن نیاز می‌باشد. گوسفند بلوچی یکی از مهم‌ترین نژادهای گوسفند بومی ایران است و به خوبی با شرایط محیطی خشن و نامطلوب قسمت جنوب‌شرقی کشور که آب‌وهوای گرم و خشک غالب است و مراعع کم‌کیفیت هستند، سازگار شده است. این گوسفند دنبه‌دار است با اندازه متوسط و دارای پشم سفید است که برای تولید گوشت و پشم نگهداری می‌شود [۲۱]. هدف از انجام این پژوهش بررسی بیان ژن CPT1B در بافت‌های قلب، کبد، بیضه، ماهیچه راسته و چربی پشت در گوسفند نژاد بلوچی با تغذیه جیره حاوی دانه شاهدانه بود.

مواد و روش‌ها

در این پژوهش، برای بررسی اثر دانه شاهدانه بر بیان ژن CPT1B، از ۱۲ رأس گوسفند نژاد بلوچی در سن پنج ماهگی در قالب یک طرح کاملاً تصادفی با دو تیمار و شش بره در هر تیمار (تکرار) استفاده شد. تیمارهای آزمایشی شامل جیره شاهد (بدون شاهدانه) و جیره حاوی ۱۰ درصد شاهدانه بود. دوره آزمایش ۱۱۰ روز بود که ۲۰ روز ابتدایی به عنوان دوره عادت‌پذیری و ۹۰ روز هم دوره اصلی پرواربندی در نظر گرفته شد. برها در دوره آزمایش، درون قفسه‌های انفرادی به ابعاد ۲×۱ متر نگهداری و به صورت انفرادی و آزاد تغذیه شدند. هم‌چنین پیش از شروع دوره پرواربندی تمام برها پشم‌چینی شدند و علیه آنتروکسیمی واکسینه شدند و به آن‌ها داروی ضد انگل خورانده شد.

صفات وزن اولیه پروار، وزن پایانی پروار، ماده خشک مصرفی، افزایش وزن روزانه، وزن لاشه سرد و گرم، وزن دنبه، ضخامت چربی پشت، وزن کبد و وزن ماهیچه راسته در دوره پرواربندی برای گروه‌های آزمایشی مورد بررسی

تولیدات دامی



شکل ۱. چرخه های واکنش PCR برای ژن های کنترل داخلی *CPT1B* و ژن *β-actin* (الف) برای تعیین دمای اتصال و تأیید سنتز cDNA

در این پژوهش برای انجام Real Time PCR مستر میکس 5x Hot FIREPOL Eva Green (شرکت Solisbiolide، کشور استونی) استفاده شد. میزان واکنش گرها برای اندازه گیری بیان ژن براساس دستور العمل شرکت سازنده کیت استفاده شد. چرخه های گرمایی واکنش Real Time PCR برای ژن های کنترل داخلی و *CPT1B* در جدول (۲) نشان داده شده است.

نتایج بدست آمده از Real Time PCR با استفاده از نرم افزار آماری (نسخه ۲۰۰۹ REST (<http://www.wzw.tum.de/gene-quantification/>) و روش $\Delta\Delta Ct$ مورد تجزیه و تحلیل قرار گرفتند و تغییرات بیان ژن *CPT1B* در بافت های (کبد، بیضه، قلب، چربی ناحیه پشت و ماهیچه راسته) بین تیمار و شاهد ارزیابی شد. داده های حاصل با استفاده از نرم افزار SAS (نسخه ۹/۱) برای مدل (۱) تجزیه میانگین ها با استفاده از آزمون LSD مقایسه شدند.

جدول ۱. توالی آغازگرهای ژن *CPT1B* و *β-actin* برای

اندازه گیری بیان ژن

طول قطعه ژن (جفت باز)	توالی آغازگر	
۱۱۶	۵'-TGTCAACACACTCGCATC-3' ۵'-CTCGTAGAGCCACAGCTGA-3'	<i>CPT1B</i>
۱۱۲	۵'-GCACCACACCTCTACAAC-3' ۵'-CATGATCTGGTCATCTCTC-3'	<i>β-actin</i>

جهت حذف آلدگی احتمالی RNA به DNA ژنومی از آنزیم DNaseI شرکت فرمتاز طبق دستور العمل شرکت سازنده استفاده شد. تیمار DNase I به مدت ۳۰ دقیقه در دمای ۳۷ سانتی گراد بر روی نمونه ها اعمال شد. درنهایت جهت غیرفعال سازی آنزیم DNaseI مقدار یک میکرولیتر EDTA ۵۰ میلی مولار به محلول واکنش افزوده شد و به مدت ۱۰ دقیقه در دمای ۶۵ درجه سانتی گراد قرار داده شد. سنتز cDNA با استفاده از دستور العمل کیت شرکت Thermo انجام شد. سنتز cDNA در حجم نهایی ۲۰ میکرولیتر انجام شد. به منظور تأیید سنتز رشته اول cDNA و تعیین دمای اتصال ژن کنترل داخلی از واکنش PCR برای تکثیر قطعه ۱۱۲ جفت بازی مربوط به ژن *β-actin* استفاده شد. واکنش زنجیره پلی مراز در حجم ۲۰ میکرولیتر انجام شد. اجزای واکنش شامل آب مقطر اتوکلاو شده ۱۱ میکرولیتر، مستر میکس هفت میکرولیتر، غلطت هر آغازگر ۰/۶ پیکومول، دو میکرولیتر cDNA به عنوان الگو با غلطت ۱۰۰ نانوگرم. چرخه های گرمایی PCR در شکل (۱-الف) نمایش داده شده است. محصول تکثیر شده با استفاده از الکتروفورز ژل آگارز یک درصد تأیید شد. علاوه بر این، به طور مشابه واکنش PCR نیز برای تعیین دمای اتصال آغازگرهای ژن *CPT1B* نیز انجام شد. چرخه های دمایی واکنش PCR برای ژن *CPT1B* در شکل (۱-ب) نمایش داده شده است.

تولیدات دامی

جدول ۲. چرخه‌های دمایی Real Time PCR برای ژن کترل داخلی و CPT1B

ژن	مرحله	دما (سانتی‌گراد)	زمان	تعداد چرخه
کترل داخلی <i>β-actin</i>	واسرشه سازی اولیه	۹۴	۱۲ دقیقه	۱
		۹۴	۱ دقیقه	
	مرحله اتصال	۵۵	۵۰ ثانیه	۴۰
		۷۲	۴۰ ثانیه	
گسترش نهایی		۷۲	۹۰ ثانیه	۱
	واسرشه سازی اولیه	۹۵	۳ دقیقه	۱
		۹۵	۲۰ ثانیه	
	مرحله اتصال	۵۷	۲۰ ثانیه	۳۵
ژن CPT1B		۷۲	۲۰ ثانیه	
	گسترش نهایی	۷۲	۴۵ ثانیه	۱

استخراج شده و همچنین تعیین مقدار لازم برای ساخت cDNA تمامی نمونه‌های استخراج شده با استفاده از نانودرایپ مورد ارزیابی قرار گرفتند. بعد از انجام نانودرایپ و تعیین غلظت نمونه‌ها، cDNA آنها ساخته شد و برای اطمینان از صحت cDNA ابتدا با آغازگرهای ژن کترل داخلی یک PCR معمولی انجام شد و محصول به دست آمده روی ژل آگارز یک درصد موردنبررسی قرار گرفت (شکل ۲).

به منظور اطمینان از صحت Real Time PCR و تکثیر اختصاصی ژنهای کترل داخلی و ژن CPT1B از نتایج منحنی ذوب استفاده شد. وجود یک پیک در منحنی ذوب برای هر یک از آغازگرهای طراحی شده نشان‌دهنده تکثیر اختصاصی ژن‌ها بود. شکل (۳) منحنی ذوب ژن کترول داخلی و CPT1B را نشان می‌دهد.

در نهایت بررسی Ct های حاصل از واکنش Real Time PCR نشان داد که بیان ژن CPT1B در بافت‌های بیضه، عضله راسته، قلب و چربی پشت در اثر تیمار شاهدانه کاهش یافت و بیان این ژن در بافت کبد افزایش یافت. تغییرات بیان ژن CPT1B در بافت‌های موردمطالعه در شکل (۴) نمایش داده شده است.

$$Y_{ij} = \mu + T_i + e_{ij} \quad (1)$$

در این رابطه، Y_{ij} ، رکورد مشاهده شده؛ μ ، میانگین کل؛ T_i ، اثر تیمار آزمایشی آم و e_{ij} ، اثر خطای آزمایشی می‌باشد.

نتایج

برای بررسی اثر شاهدانه بین گروه‌های موردمطالعه داده‌های فوتیپی مرتبه با فعالیت ژن CPT1B ثبت شد. نتایج واکاوی آماری صفات عملکردی و لاشه در جدول (۳) آورده شده است. بردهایی که از جیره حاوی شاهدانه تغذیه کردند وزن کبد، میانگین وزن پایانی پروار، میانگین افزایش وزن روزانه بالاتر و میانگین ماده خشک مصرفی کمتری از بردهای گروه شاهد داشتند. تفاوتی بین تیمارهای آزمایشی از نظر وزن اولیه پروار، وزن دنبه، ضخامت چربی پشت و وزن ماهیچه راسته، وزن لاشه سرد و گرم بین گروه شاهد و تیمار مشاهده نشد.

در ارزیابی کیفیت RNA با استفاده از ژل آگارز و الکتروفورز، وجود دو باند 18S و 28S و عدم وجود باندهای اضافی در نمونه‌های استخراج شده نشان‌دهنده کیفیت مناسب RNA بود. برای بررسی کمی نمونه‌های

تولیدات دامی

چربی‌ها می‌باشد که هم راستای با تغییرات وزن کبد در این آزمایش بود [۲]. براساس یافته‌های این مطالعه میزان ماده خشک مصرفی، میانگین افزایش وزن روزانه و میانگین وزن پایانی پروار بین گروه‌های شاهد و تیمار معنی‌دار شد. در تأیید این مطلب، نتایج مشابه نشان داده‌اند که استفاده ۱۰ درصدی از دانه شاهدانه در جیره حاوی ۱۴ درصد پروتئین خام از طریق بهبود قابلیت هضم ماده خشک و پروتئین خام می‌تواند موجب افزایش وزن روزانه و مصرف ماده خشک شود [۱۵].

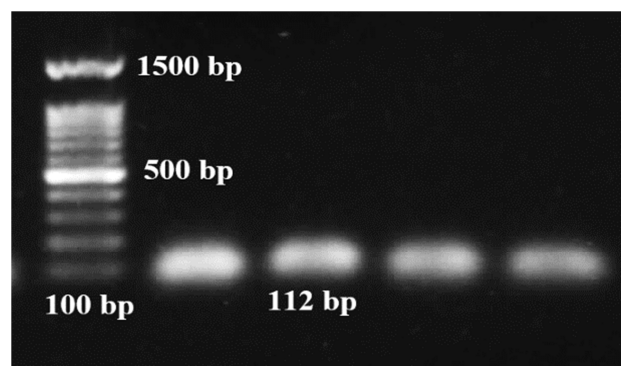
بحث

در این آزمایش، تفاوت معنی‌داری بین گروه‌های آزمایشی از نظر ضخامت چربی پشت و وزن دنبه مشاهده نشد که نتایج اندازه‌گیری بیان ژن *CPTIB* در بافت چربی پشت را تأیید می‌نماید.

میزان بیان این ژن نیز در بافت ماهیچه راسته بین گروه‌های آزمایشی تفاوتی نداشت با وزن ماهیچه راسته در این آزمایش همسو بود. مطالعات نشان داده‌اند که بافت کبد یکی از اصلی‌ترین اندام‌ها برای متابولیسم

جدول ۳. نتایج ثبت معیارهای فیزیکی به منظور تأیید داده‌های بیان ژن *CPTIB*

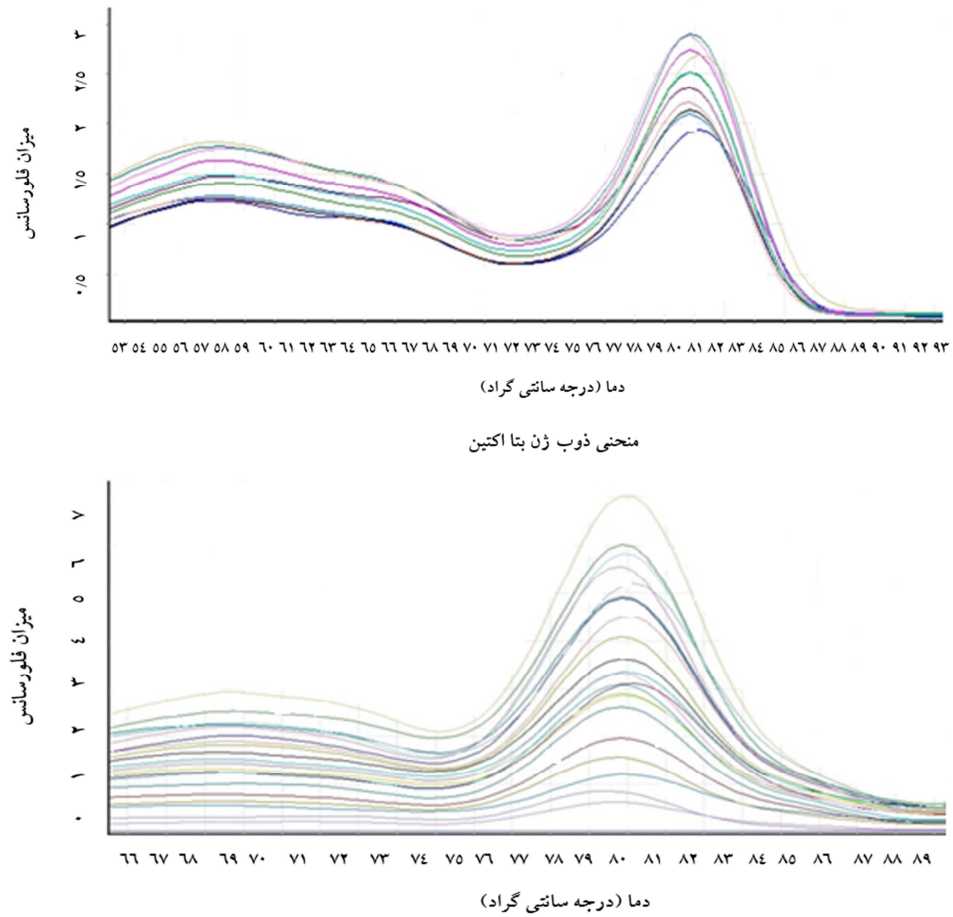
معنی‌داری	۱۰ درصد شاهدانه	شاهد	معیارها
۰/۰۴	۰/۸۳ \pm ۰/۰۵	۰/۶۲ \pm ۰/۰۲	وزن کبد (کیلوگرم)
۰/۰۲	۴۳/۶۴ ۱ \pm ۹۵	۴۲/۰۳ ۱ \pm ۸۹	میانگین وزن پایانی پروار (کیلوگرم)
۰/۰۰۳	۱/۱۵ ۰ \pm ۰/۰۲	۱/۳۳ ۰ \pm ۰/۰۲	میانگین ماده خشک مصرفی (کیلوگرم در روز)
۰/۰۲	۲۱۱/۷۳ ۰ \pm ۰/۸۵	۱۹۴/۲۸ ۰ \pm ۰/۶۲	میانگین افزایش وزن روزانه (گرم)
۰/۰۹	۲۱/۲۲ ۱ \pm ۰/۲۵	۲۰/۷۶ ۱ \pm ۰/۲۲	وزن لشه گرم (کیلوگرم)
۰/۳۰	۲۰/۲۹ ۱ \pm ۰/۱۲	۱۹/۰۳ ۱ \pm ۰/۲۵	وزن لشه سرد (کیلوگرم)
۰/۰۸	۲/۲۶ ۰ \pm ۰/۹۵	۲/۱۷ ۰ \pm ۰/۸۶	وزن دنبه (کیلوگرم)
۰/۱۰	۳/۲۶ ۰ \pm ۰/۳۵	۳/۱۰ ۰ \pm ۰/۲۴	ضخامت چربی پشت (سانتی متر)
۰/۱۵	۵/۴۶ ۰ \pm ۰/۱۴	۵/۵۳ ۰ \pm ۰/۱۲	وزن ماهیچه راسته (کیلوگرم)
۰/۷۰	۲۵/۸۵ ۱ \pm ۰/۸۹	۲۵/۷۱ ۱ \pm ۰/۴۳	میانگین وزن اولیه پروار (کیلوگرم)



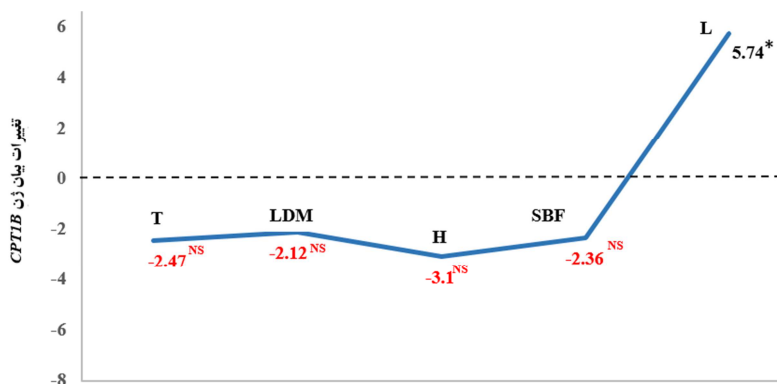
شکل ۲. آشکارسازی نتایج PCR ژن کنترل داخلی به‌وسیله ژل آگارز یک درصد. تکثیر قطعه ۱۱۲ جفت بازی ژن کنترل داخلی با استفاده از cDNA سنتز شده به عنوان الگو نشان‌دهنده تأیید سنتز صحیح cDNA می‌باشد.

تولیدات دامی

اثر تغذیه دانه شاهدانه بر بیان ژن CPT1B در گوسفند بلوچی



شکل ۳. منحنی ذوب واکنش Real Time PCR برای ژن‌های کترول داخلی و CPT1B. وجود یک پیک در منحنی ذوب برای هر یک از آغازگرهای طراحی شده نشان‌دهنده تکثیر اختصاصی ژن‌ها می‌باشد.



شکل ۴. نمودار تغییرات بیان ژن CPT1B بین گروه‌های تیمار و شاهد در نتیجه تغذیه با دانه شاهدانه در بافت‌های مختلف.
بیضه (T: Testis)، ماهیچه راسته (LDM: Longissimus dorsi muscle)، قلب (H: Heart)، چربی پشت (SBF: Subcutaneous back fat) (L: Liver) (ns: غیر معنی‌دار).

تولیدات دامی

دوره ۲۴ ■ شماره ۳ ■ پاییز ۱۴۰۱

CPT2 در سمت درونی غشای داخلی میتوکندری با کوآنزیم-آ و اکتش داده و ضمن تشکیل دوباره آسیل کو-آ در ماتریکس میتوکندری، کاربین آزاد می شود. همچنین مشخص شده است که اسیدهای چرب غیراشباع از طریق بیان ژن‌هایی چون *CPTIB* موجب تغییر متabolیسم چربی در کبد می شوند [۱۳]. ایزوفرم‌های عضلانی این آنزیم (*CPTIB-M*) بهشدت در سلول‌های عضلانی قلب و اسکلتی و سلول‌های چربی قهوه‌ای بیان شده‌اند [۵]. *CPTIB-M* عاملی برای تنظیم مالونیل کو-آ در سطح رونویسی می باشد [۱۹]. پیشنهاد شده است که انقباض عضلات، استیل کو-آ کربوکسیلاز را مهار می کند و یک مکانیسم برای افزایش اکسیداسیون اسیدهای چرب را ایجاد می نماید [۱۷].

در پژوهشی چگونگی تاثیر سیستم تغذیه‌ای بر تغییر در پروفایل اسیدهای چرب از طریق تغییر در سطح بیان ژن‌های مرتبط با متabolیسم چربی در ماهیچه *Semitendinosus* در بردهای نژاد راسا آراغونسا (Rasa Aragonesa) مورد مطالعه قرار گرفت [۸]. سیستم‌های مختلف تغذیه‌ای منجر به پروفایل‌های مختلف اسیدهای چرب و سطوح مختلفی از بیان ژن‌های مرتبط با متabolیسم چربی می شوند، به طوری که بردهای تغذیه شده با سیستم آزاد و چرای یونجه به همراه مکمل در مقایسه با گروههای داخل سالن سطح بالاتری از بیان ژن *CPTIB* را نشان دادند. این نشان می دهد که سیستم‌های با چرای آزاد سطح بالاتری از بیان ژن *CPTIB* و احتمالاً اکسیداسیون اسیدهای در ماهیچه *Semitendinosus* را ایجاد می نمایند [۸]. هنگامی که چرب برای تولید انرژی را ایجاد می شوند [۸]. هنگامی که حیوانات در معرض سیستم‌های تغذیه‌ای مختلف قرار می گیرند، تغییرات قابل توجهی در متabolیسم آنها ایجاد می شود. این تغییرات ممکن است شامل یک تغییر عمدۀ در نرخ سنتز اسید چرب و رسوب لیپیدی در بافت چربی باشد [۲۰]. در روش تغذیه‌ای دستی بیان ژن‌های مربوط به چربی

آنزیم *CPTIB* یک آنزیم کلیدی در کترول اکسیداسیون اسیدهای چرب بلندزنجیر است. این آنزیم وظیفه اکسیداسیون اسیدهای چرب را در درون میتوکندری به عهده دارد. پژوهش‌ها نشان داده‌اند که اسیدهای چرب متسط زنچیر (اکتانوئات و دکانوئات) بیان ژن *CPTIB* را در بردها افزایش نمی دهند، در مقابل بیان ژن *CPTIB* می تواند تحت تأثیر سایر اسیدهای چرب مانند اسیدهای چرب اشباع (پالمیتات)، اسیدهای چرب غیراشباع با یک پیوند دوگانه قرار گیرد [۷ و ۱۱]. برای نمونه لینوئات (اسید چرب غیراشباع با چند پیوند دوگانه) موجب افزایش بیان ژن *CPTIB* می شود [۷]. قابل ذکر است که، افزایش بیان ژن *CPTIB* تحت تأثیر اسیدهای چرب بلندزنجیر هم در مرحله رونویسی هم در مراحل پس از رونویسی این ژن انجام می گیرد. شواهد نشان می دهد که اسیدهای چرب بلندزنجیر باید به استرهای کوآنزیم-آ خود تغییر یابند تا بتوانند موجب افزایش بیان ژن *CPTIB* شوند.

مکانیسم مولکولی نحوه تحریک بیان ژن *CPTIB* توسط اسیدهای چرب بلندزنجیر هنوز مشخص نشده است. برخی گزارش‌ها حاکی از آن است که اسیدهای چرب بلندزنجیر به واسطه گیرنده‌های هسته‌ای استروئیدی- تیروئیدی موسوم به (Peroxisome PPAR α (proliferator-activated receptor alpha تنظیم بیان ژن *CPTIB* و در نهایت اکسیداسیون اسیدهای چرب در میتوکندری می شوند [۱۱]. ورود اسید چرب به مسیر اکسیداتیو با فعالیت آنزیم *CPTIB* کترول می شود. در حضور کاربین، *CPTIB* در غشای داخلی میتوکندری، آسیل کو-آ بلند را به آسیل کاربین تبدیل می کند تا پس از عبور از غشای داخلی، به سیستم آنزیمی اکسیداسیون دسترسی یابد. آسیل کاربین تحت تأثیر

تولیدات دامی

تعارض منافع

هیچ‌گونه تعارض منافع توسط نویسنده‌گان وجود ندارد.

منابع مورداستفاده

- Almeida AM, Bassols A, Bendixen E, Bhide M, Ceciliani F, Cristoba S, Eckersa PD, Hollung K, Lisacek F, Mazzucchelli G, McLaughlin M, Miller I, Nally JE, Plowman J, Renaut J, Rodrigues P, Roncada P, Staric J and Turk R (2015) Animal board invited review: advances in proteomics for animal and food sciences. *Animal* 9: 1-17.
- Alves-Bezerra M, Cohen DE (2017) Triglyceride Metabolism in the Liver. *Comprehensive Physiology* 8(1): 1-8.
- Bahmani M, Zargaran A, Rfieian-Kopaei M (2014) Identification of medicinal plants of Urmia for treatment of gastrointestinal disorders. *Revista Brasileira de Farmacognosia* 24(4): 468-480.
- Brandstetter AM, Sauerwein H, Veerkamp JH, Geay Y and Hocquette JF (2002) Effects of muscle type, castration, age and growth rate on H-FABP expression in bovine skeletal muscle. *Livestock Production Science* 75: 199-208.
- Brown NF, Hill JK, Esser V, Kirkland JL, Corkey BE, Foster DW, McGarry JD (1997) Mouse white adipocytes and 3T3-L1 cells display an anomalous pattern of carnitine palmitoyltransferase (CPT) I isoform expression during differentiation. Inter-tissue and inter-species expression of CPT I and CPT II enzymes. *The Biochemical Journal* 327 (1): 225-31.
- Callaway JC (2004) Hempseed as a nutritional resource: An overview. *Euphytica* 140(2): 65-72.
- Dervishi E, González-Calvo L, Blanco M, Joy M, Sarto P, Martín-Hernandez R, Ordovás JM, Serrano M, Calvo JH (2019) Gene expression and fatty acid profiling in longissimus thoracis muscle, subcutaneous fat, and liver of light lambs in response to concentrate or alfalfa grazing. *Frontiers in genetics* 31(10): 1070-1084.
- Dervishi E, Serrano C, Joy M, Serrano M, Rodellar C, Calvo JH (2011) The effect of feeding system in the expression of genes related with fat metabolism in semitendinous muscle in sheep. *Journal of Meat science* 89: 91-97.
- Farahvashi MA (2019) The effect of feeding cannabis seed on *MyoG* gene expression in Baluchi Sheep. Shahid Bahonar University of Kerman, M.Sc. Dissertation. (In Persian).

افزایش پیدا کرد، در حالی که بیان ژن *CPT1B* کاهش یافت [۱۲]. در مطالعه دیگری به طور مشابهی مشخص شد که بیان ژن *CPT1B* در چرای آزاد (چرای یونجه به همراه مکمل‌ها) بالاتر از گروه‌های تغذیه‌شده به شکل دستی در داخل سالن بود [۴]. بررسی تأثیر دانه شاهدانه در تغذیه برها بر بیان ژن *NPY* نشان می‌دهد که تغذیه برها با دانه شاهدانه بیان ژن *NPY* را در کبد افزایش و در بافت چربی کاهش می‌دهد، که با نتایج بدست‌آمده از پژوهش حاضر بر روی ژن *CPT1B* مطابقت دارد. در واقع تغذیه با دانه شاهدانه که حاوی اسیدهای چرب غیراشباع می‌باشد احتمالاً فعالیت کبد و تجمع چربی در بدن را تا حدودی تحت تأثیر قرار می‌دهد (فعالیت کبد را بیشتر و تجمع چربی را کمتر می‌کند [۲۳]). هم‌چنین در مطالعه‌ای دیگر بررسی تأثیر دانه شاهدانه در تغذیه برها بر بیان ژن میوژنین در جمعیتی که در پژوهش حاضر مورد بررسی قرار گرفته بود نشان داد، بیان ژن میوژنین در بافت‌های چربی پشت و قلب در اثر مصرف شاهدانه افزایش داشته است [۹]. در حالی که نتایج پژوهش حاضر نشان داد که بیان ژن *CPT1B* در بافت‌های چربی و قلب گروه دریافت‌کننده شاهدانه کاهش می‌یابد.

با توجه به نتایج بدست‌آمده و پژوهش‌های پیشین می‌توان چنین بیان کرد، به دلیل این‌که دانه شاهدانه حاوی اسیدهای چرب غیراشباع می‌باشد و از آنجاکه اسیدهای *CPT1B* چرب غیراشباع از طریق بیان ژن‌هایی چون *CPT1B* موجب تغییر متابولیسم چربی در کبد می‌شوند، اثر تغذیه شاهدانه در این پژوهش باعث افزایش بیان ژن *CPT1B* در کبد شده است.

تشکر و قدردانی

از کلیه دانشجویان تحصیلات تکمیلی بخش علوم دامی دانشگاه شهید باهنر کرمان به منظور همیاری در ثبت داده‌ها، تشکر و قدردانی می‌گردد.

تولیدات دامی

10. Ghormade V, Khare A and Baghe RPS (2011) "Nutrigenomics and its Applications in Animal Science. Veterinary Research Forum 2: 147-155.
11. Girard J, Chatelain F, Boillot J, Prip-Buus C, Thumelin S, Pégorier JP, Foufelle F and Ferré P (1997) Nutrient Regulation of Gene Expression. Journal of Animal Science 75(2): 46-59.
12. Graugnard DE, Piantoni P, Bionaz M, Berger LL, Faulkner DB, Loor JJ (2009) Adipogenic and energy metabolism gene networks in longissimus lumborum during rapid post-weaning growth in Angus and Angus×Simmental cattle fed high-starch or low-starch diets. BMC Genomics 10: 42-151.
13. Grum DE, Drackley JK, Younker RS, LaCount DW and Veenhuizen JJ (1996) Nutrition during the dry period and hepatic lipid metabolism of periparturient dairy cows. Journal of Dairy Science 79(10): 1850-1864.
14. Kang D, Zhou G, Zhou S, Zeng J, Wang X, Jiang Y, Yang Y, Chen Y (2017) Comparative transcriptome analysis reveals potentially novel roles of Homeobox genes in adipose deposition in fat-tailed sheep. Scientific reports 7(1): 1-7.
15. Karamshahi Amjazi K, Jalilvand GH, Dayani O and Banadak MD (2019) Effects of feeding hemp seeds in diets with different levels of crude protein on Performance, Digestibility, Ruminal metabolites and Synthesis of Microbial Protein in Baluchi fattening lambs. Journal Ruminant Research 7(2): 33-58. (In Persian).
16. Kerner J and Hoppel Ch (2000) Fatty acid imports into mitochondria. Biochimica et Biophysica Acta, 1486: 1-17.
17. Kharrati-Koopaee H, Ebrahimi E, Dadpasand M, Niazi A, Esmailizadeh A (2019) Genomic analysis reveals variant association with high altitude adaptation in native chickens. Scientific reports 25; 9(1): 1-22.
18. Mahmoodi M, Farhomand P, Arash A (2012) Effect of different levels of cannabis (*Cannabis sativa* L.) diet on yield, internal organ weight and serum cholesterol level of broilers. Journal of Medicinal Plants 11(2): 121-129. (In Persian)
19. McGarry JD, Leatherman GF and Foster DW (1978) Carnitine palmitoyltransferase I: the site of inhibition of hepatic fatty acid oxidation by malonyl-CoA. The Journal of Biological Chemistry 253: 4128-4136.
20. Moibi JA, Christopherson RJ and Okine EK (2000) Effect of environmental temperature and dietary lipid supplement on activity and protein abundance of Acetyl-CoA carboxylase and fatty acid synthase in skeletal muscle, liver and adipose tissue of sheep. Canadian Journal of Animal Science 80: 69-77.
21. Gholizadeh M, Fayazi J, Valizadeh R, Hamed Kharrati Koopaee H, Dashab GR (2020) Polymorphism of some microsatellites of chromosome 3 and their association with wool production in Baluchi sheep. Animal Sciences Journal 33(127): 31-42. (In Persian)
22. Ponnampalam EN, Vahedi V, Giri K, Lewandowski P, Jacobs JL, Dunshea FR (2019) Muscle antioxidant enzymes activity and gene expression are altered by diet-induced increase in muscle essential fatty acid (α -linolenic acid) concentration in sheep used as a model. Nutrients 11(4): 723.
23. Rashedifar M (2019) The effect of feeding cannabis seed on *NPY* gene expression in Baluchi Sheep. Shahid Bahonar University of Kerman. M.Sc. Dissertation. (In Persian)
24. Wang B, Yang L, Luo Y, Su R, Su L, Zhao L, Jin YE (2018) Effects of feeding regimens on meat quality, fatty acid composition and metabolism as related to gene expression in Chinese Sunit sheep. Small Ruminant Research 169: 127-33.
25. Zakariapour Bahnamiri H, Ganjkhaneh M, Zali A, Sadeghi M, Moradi Shahrabak H, Nehzati Paghaleh GA (2019) Expression of genes related to liver fatty acid metabolism in fat-tailed and thin-tailed lambs during negative and positive energy balances. Journal of Animal Physiology and Animal Nutrition 103(2): 427-435.

تولیدات دامی

دوره ۲۴ ■ شماره ۳ ■ پاییز ۱۴۰۱